

مدلسازی زمانی و تحلیل روند تولید بیوگاز با استفاده از زمین‌آمار

سمیرا زارعی^{*}، جلال خدائی، فرزاد الماسی و راشد محمدرضایی^{**}

^{*} نگارنده مسئول: گروه مهندسی بیوسیستم، دانشگاه کردستان، سنندج، ایران. تلفن: ۰۸۷(۳۳۶۲۷۷۲۳)، پیامنگار:

^{**} بهترتب: استادیاران گروه مهندسی بیوسیستم دانشگاه کردستان؛ کارشناس مرکز آموزش جهاد کشاورزی استان کردستان؛ و

دانشآموخته کارشناسی ارشد مهندسی مکانیک بیوسیستم دانشگاه کردستان

تاریخ دریافت: ۹۵/۶/۲۱؛ تاریخ پذیرش: ۹۵/۱۱/۳۰

چکیده

یکی از منابع تأمین انرژی، تولید بیوگاز از فضولات دامی به کمک تخمیر بی‌هوایی است. استفاده از همزن‌ها و ایجاد اختلاط تولید بیوگاز و تأثیر همزن در یک مخزن ۱۲۰۰ لیتری با حجم مایع ۸۰۰ لیتر با استفاده از زمین‌آمار اجرا شده است. به این منظور برای مدلسازی تولید بیوگاز در حالت بدون همزن (I) و همچنین با همزن با دوره‌ای ۴۰ و ۱۰۰ دور در دقیقه (بهترتب II و III)، از واریوگرام استفاده شده است. برای سنجش صحت مدل‌های به کار رفته، از آنها برای بازتولید داده‌های مشاهداتی با کریجینگ استفاده شده است. ارزیابی متقابل و شاخص‌های آماری ضریب تبیین و مجذور مربعات باقیمانده ملاک این ارزیابی بوده‌اند. نتایج شبیه‌سازی نشان می‌دهد که روند تولید بیوگاز در حالت جریان یکنواخت، با همبستگی ۹۷٪ دارای بیشترین پیوستگی ساختاری داده‌ای و در حالت (III) با همبستگی ۳۳٪ دارای کمترین پیوستگی ساختاری داده‌ای است.

واژه‌های کلیدی

تخمیر بی‌هوایی، راکتور، کریجینگ، کود دامی، همزن

مقدمه

در شیوه زندگی امروزی که تقاضای انرژی در آن به‌شدت رو به افزایش است، تحقیق برای افزایش بهره‌برداری از منابع انرژی تجدیدپذیر و سازگار با محیط زیست یک ضرورت خواهد بود (Yadvika *et al.*, 2004). یکی از منابع تأمین انرژی، تولید بیوگاز از فضولات دامی است که در گذشته در کشورهای پرجمعیتی که از نظر منابع انرژی در مضيقه بودند، مانند هند، سهم عمده‌ای در تولید انرژی داشته است؛ اما امروزه این شیوه به صورت فرآگیر در کشورهای پیشرفته نیز به کار گرفته می‌شود. در زمینه بهبود روش‌های تولید بیوگاز تلاش‌های ترکیبات و افزودنی‌هایی اشاره کرد که با درصدهای مختلف به مواد آلی تولیدکننده بیوگاز اضافه می‌کنند. از دیگر تحقیقات در این زمینه، استفاده از همزن‌ها و ایجاد اختلاط در مخازن تولید بیوگاز است (Shen *et al.*, 2013). تخمیر بی‌هوایی مواد با غلظت جامد بالا مانند کودهای حیوانی عموماً در مخازن همزن‌دار انجام می‌شود که به‌طور پیوسته تغذیه می‌شوند. عملکرد مخازن همزن‌دار به زمان ماند هیدرولیکی مواد و میزان تماس مواد ورودی و جمعیت باکتری‌ها بستگی دارد (Karim *et al.*, 2005). هر دو این عوامل، تابعی از رژیم

بخش؛ در حالی‌که هم‌زدن ناکافی منجر به تشکیل لایه‌هایی از مواد جامد معلق در داخل مخزن می‌شود (Chapman, 1989; Chen *et al.*, 1990; Lema *et al.*, 1991). در مطالعه‌ای دیگر، نتایج ارزیابی تأثیر شدت هم‌زدن ۱۵۰ و ۲۵ دور در دقیقه و نیز حداقل هم‌زدن بر میزان بیوگاز تولیدی طی تخمیر بی‌هوایی بخش آلتی ضایعات جامد شهری نشان داده است که شدت هم‌زدن پایین‌تر منجر به افزایش سرعت و حجم تولید بیوگاز می‌شود (Lindmark *et al.*, 2014).

یکی از چالش‌های اصلی در تولید بیوگاز، شناسایی روند تولید آن است. تحقیق حاضر با هدف مدلسازی و تحلیل روند تولید بیوگاز و تأثیر هم‌زدن در یک مخزن ۱۲۰۰ لیتری با حجم مایع ۸۰۰ لیتر با استفاده از زمین‌آمار^۱ اجرا شده است. زمین‌آمار، به علت سادگی و همچنین توانایی در شناسایی ارتباط بین داده‌ها، در زمینه‌های مدلسازی و بهینه‌سازی در علوم محیطی و مهندسی کاربرد فراوانی دارد. اخیراً در مدلسازی و بهینه‌سازی تولید بیوگاز نیز از روش زمین‌آمار استفاده شده است (Zaefferer *et al.*, 2016). این محققان در مطالعات خود از روش‌های کریجینگ^۲ و کوکریجینگ^۳ برای مدلسازی تولید بیوگاز از ترکیبات مختلف مواد استفاده کردند. با این حال تا کنون مطالعه‌ای در زمینه مدلسازی تأثیر شدت‌های مختلف هم‌زدن بر تولید بیوگاز و تحلیل روند تولید بیوگاز با استفاده از روش زمین‌آمار صورت نگرفته است.

مواد و روش‌ها

در این تحقیق، از فضولات گاوی رقيق شده با آب به عنوان مواد تغذیه‌ای به هاضم برای تولید بیوگاز استفاده شده است. راکتور مورد استفاده در این مطالعه از نوع غیرپیوسته به صورت استوانه‌ای با ارتفاع ۱/۵ و قطر ۱ متر و از جنس ورق آهن سفید طراحی و ساخته شد. بعد از

هیدرولیکی (هم‌زدن) در مخازن هستند. هم‌زدن باعث ایجاد مخلوطی همگن می‌شود، از ایجاد پوسته روی سطح مواد و نیز از رسوب جامدات در کف مخزن جلوگیری می‌کند (Kaparaju *et al.*, 2008).

در مطالعه‌ای، پاره‌ای از محققان تأثیر دما و هم‌زدن را بر شاخص‌های انرژی حاصل از تولید بیوگاز از فضولات گاوی در یک هاضم بی‌هوایی در مقیاس صنعتی به حجم ۹۲۵ لیتر بررسی و برای ایجاد اختلاط در مخزن و جبران کمبود تماس لجن با مایع از پمپ برگشت‌دهنده استفاده کردند (Afazeli *et al.*, 2013). نتایج حاصل از مطالعه آنها نشان داده است که استفاده از هم‌زدن تأثیر زیادی در تولید بیوگاز دارد. در مطالعه‌ای دیگر، یک هم‌زدن مکانیکی از نوع پارویی برای یک واحد بیوگاز مدل چینی ارائه شد (Omraní *et al.*, 2007). نتایج ارزیابی‌ها از عملکرد هم‌زدن نشان داده است که میزان تولید بیوگاز پس از استفاده از هم‌زدن تا حدود ۴۲ درصد افزایش می‌یابد.

اثر هم‌زدن بر تخمیر بی‌هوایی کود در دمای ۵۵ درجه سلسیوس در مقیاس آزمایشگاهی و واقعی را کاپاراجو و همکاران (Kaparaju *et al.*, 2008) بررسی و تأثیر هم‌زدن مداوم، حداقل هم‌زدن (۱۰ دقیقه هم‌زدن قبل از تغذیه) و هم‌زدن متوسط (هم‌زدن به مدت ۲ ساعت قبل از تغذیه) را بر میزان تولید متان مطالعه کردند. این محققان نتیجه گرفتند که هم‌زدن پیوسته مواد به روش‌های هم‌زدن متوسط و حداقل هم‌زدن به ترتیب میزان تولید متان را ۱/۳ درصد و ۱۲/۵ درصد افزایش می‌دهد. اهمیت اختلاط در تبدیل مواد تغذیه شده به ستری کارآمد در مخازن تولید بیوگاز را چندین محقق گزارش داده‌اند (Smith *et al.*, 1996; Stroot *et al.*, 2001; Karim *et al.*, 2005; Vavilin & Angelidaki, 2005; Vedrenne *et al.*, 2008). مطالعات نشان می‌دهد که هم‌زدن کافی می‌تواند توزیع مواد، آنزیمهای و میکروارگانیزم‌ها را در هاضم‌های بی‌هوایی بهبود

1- Geostatistic
3- Cokriging

2- Kriging

همزن برای ایجاد جریان یکنواخت^۱ ۴۰ و برای ایجاد جریان آشفته^۲ ۱۰۰ دور در دقیقه انتخاب شد (Shen *et al.*, 2013). نیروی محرک همزن با استفاده از یک الکتروموتور سه فاز با توان یک اسب بخار تأمین و برای تنظیم دورهای مختلف اختلاط از یک اینورتر^۳ استفاده گردید. مراحل آزمایش با سرعت گردش همزن ۰، ۴۰ و ۱۰۰ (به ترتیب حالت I و II و III) برای بررسی تولید بیوگاز بدون دخالت همزن، جریان یکنواخت و جریان آشفته انجام گرفته است. شکل ۱ تصویر مخزن را نشان می‌دهد.

آماده شدن مخزن، فضولات گاوی تازه و آب به نسبت مساوی مخلوط و به حجم ۸۰۰ لیتر به داخل مخزن تغذیه فرستاده شد. سهم ماده جامد کل و pH فضولات در هنگام بارگیری به ترتیب ۴۴/۹ درصد و ۷/۶ اندازه‌گیری شد. دمای مخزن ۳۰-۳۵ درجه سلسیوس. مقادیر تولید گاز به صورت روزانه و با استفاده از کنتور مدل G4 ساخت شرکت گازسوزان قرائت و اندازه‌گیری شده است.

علاوه بر مخزن، برای بررسی تأثیر اختلاط فضولات و آب بر تولید گاز، همزنی دو پروانه‌ای با پره‌های شش تیغه‌ای توربینی طراحی و ساخته شد. سرعت گردش



شکل ۱- مخزن تولید بیوگاز

تفاوت زمین‌آمار با آمار کلاسیک در این است که در آمار کلاسیک تنها از مقادیر متغیر تصادفی استفاده می‌شود، در حالی که در زمین‌آمار علاوه بر مقدار متغیر تصادفی، فاصله فضایی آنها نیز دخالت داده می‌شود که این فاصله فضایی می‌تواند مکانی یا زمانی باشد (Hassani-Pak, 1998).

زمین‌آمار

پس از اجرای آزمایش‌ها با سه حالت مختلف همزنی و ثبت مقادیر بیوگاز تولیدی، برای تحلیل روند تولید بیوگاز و همچنین تأثیر همزن، از روش زمین‌آمار استفاده شده است. اساس روش‌های زمین‌آماری بر وجود ساختار فضایی بین داده‌هاست.

$$\gamma^* = \frac{1}{2N(h)} \sum_{i=1}^{N(h)} [Z(X_i) - Z(X_i + h)]^2 \quad (1)$$

که در آن،

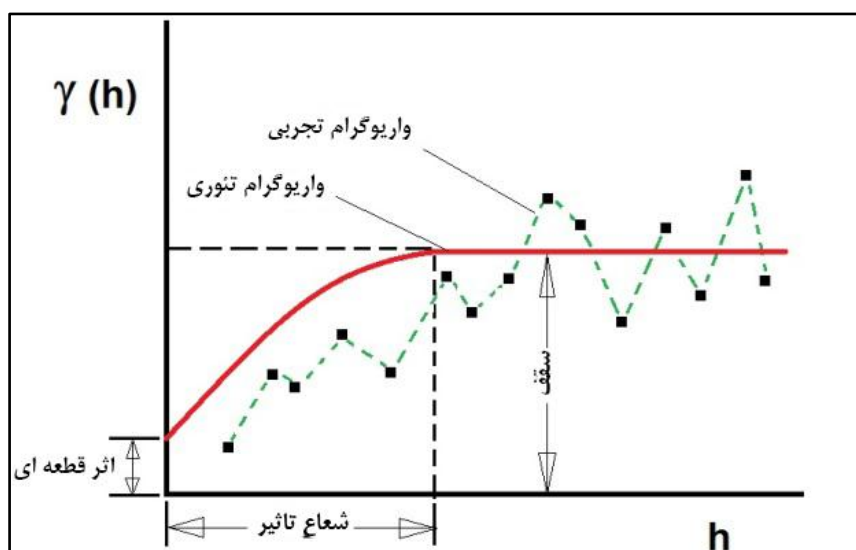
$\gamma(h)$ = مقدار نیم تغییرنما برای فاصله زمانی مشخص h
 N = تعداد زوج‌های مشاهداتی؛ و $Z(X_i+h)$ و $Z(X_i)$ مقادیر متغیر به ترتیب در زمان X_i+h و X_i .

پس از محاسبه واریوگرام‌های تجربی با استفاده از رابطه ۱ و مدل‌های نظری مختلفی مانند کروی، نمایی، گوسی و...، خصوصیات واریوگرام استخراج می‌شود. هر واریوگرام دو ویژگی مهم دارد که با آن ساختار داده‌ها تفسیر می‌شود. این ویژگی‌ها شامل شعاع تأثیر^۳، سقف^۴ و اثر قطعه‌ای^۵ است (شکل ۲).

کاربرد دیگر تغییرنما، علاوه بر شناخت و مدل‌سازی ساختار فضایی و نحوه ارتباط متغیر مورد نظر، تخمین زمین‌آماری متغیر در محدوده‌های مورد نظر است.

واریوگرام^۱

یکی از ابزارهای اصلی زمین‌آمار و مهم‌ترین ابزار شناسایی ساختار و فهم ارتباط بین داده‌ها، واریوگرام است. همبستگی متقابل مقدار یک متغیر تصادفی، که در فاصله h از هم قرار دارند، می‌تواند با استفاده از واریانس آنها بیان شود. در صورت وجود ساختار فضایی، وابستگی متغیرهای نزدیک به هم بیشتر از وابستگی متغیرهایی است که از لحاظ فضایی نسبت به هم دورترند. میزان تأثیرپذیری هر متغیر از متغیرهای دیگر می‌تواند با استفاده از این واریانس تعیین شود. این واریانس وابسته به فاصله را تغییرنما ($\gamma(h)$) و نصف آن را نیم تغییرنما^۲ می‌گویند. نیم تغییرنما که نمایانگر میانگین مربعات تفاضل دو متغیر ناحیه‌ای با فاصله h است، به صورت رابطه ۱ تعریف می‌شود:



شکل ۲- واریوگرام تجربی و تئوری و اجزای آن

1- Variogram

3- Range

5- Nugget Effect

2- Semivariogram

4- Sill

R^2 برای انتخاب بهترین مدل استفاده شد و R^2 بهترین مدل‌ها بر اساس کمترین RSS و بیشترین R^2 انتخاب شدند (Robinson & Metternicht, 2006). از نیم تغییرنما می‌توان برای تعیین وزن‌های تخمین‌گر کریجینگ استفاده کرد. در صورت وجود یک ساختار داده‌ای خوب، می‌توان تغییر نمایه‌ای با کمترین خطأ و به تبع آن تخمین‌های بهتری از تولید بیوگاز داشت. معیار به کار رفته برای سنجش تخمین مقادیر بیوگاز تولیدی، روش ارزیابی متقابل^۳ است. در این روش، یک نقطه به صورت موقتی حذف و مقدار آن با کریجینگ تخمین زده می‌شود. پس از آن، مقدار حذف شده به جای خود برگردانده و این عمل برای دیگر نقاط تکرار می‌شود. از رسم مقدار واقعی نقاط و مقادیر تخمینی، نمودار برآشش متقابل ایجاد می‌شود. همچنین، از سه شاخص آماری ریشه میانگین مربع خطاهای (RMSE)، میانگین خطای مطلق (MAE) و ضریب تبیین (R^2) برای سنجش عملکرد مدل استفاده شده است. روابط به کار رفته به صورت زیر است (روابط ۳ تا ۵):

$$RMSE = \sqrt{\frac{1}{n} \sum_{i=1}^n (z_i - z_i^*)^2} \quad (3)$$

$$MAE = \frac{1}{n} \sum_{i=1}^n |z_i - z_i^*| \quad (4)$$

$$R^2 = 1 - \frac{\sum_{i=1}^n (z_i - z_i^*)^2}{\sum_{i=1}^n (z_i - \bar{z})^2} \quad (5)$$

که در آن‌ها، n = تعداد نمونه‌ها؛ Z = غلظت اندازه‌گیری شده؛ و Z^* = غلظت محاسباتی (Kord et al., 2015).

کریجینگ

کریجینگ روشی است تخمینی که بر پایه میانگین متحرک وزن‌دار استوار و بهترین تخمین‌گر خطی ناریب^۱ است. کریجینگ از رابطه^۲ قابل محاسبه است (Hassani-Pak, 1998):

$$z^*(x) = \sum_{i=1}^n \lambda_i z(x_i) \quad (2)$$

که در آن،

$z^*(x)$ = غلظت برآورده؛ λ_i = وزن وابسته به نمونه آم؛ $z(x_i)$ = مقدار متغیر اندازه‌گیری شده؛ و n = تعداد نقاط اندازه‌گیری شده. جمع وزن‌های اختصاص داده شده λ_i باید برابر واحد شود.

در این تخمین‌گر وزن‌ها بیشترین تأثیر را در صحت و دقیقت تخمین دارند؛ از این‌رو تعیین وزن‌ها مهم‌ترین بخش کریجینگ است. در زمین‌آمار، این وزن‌ها با استفاده از تغییر نما محاسبه می‌شوند. از مهم‌ترین ویژگی‌های کریجینگ این است که به ازای هر تخمین، خطای مرتبط با آن را می‌توان محاسبه کرد در حالی که در روش‌های کلاسیک معمولاً چنین نیست. به عبارت دیگر میزان عدم قطعیت تخمین‌ها قابل محاسبه است. شرط استفاده از کریجینگ این است که متغیر باید توزیع نرمال داشته باشد و گرنه باید ابتدا با تبدیل مناسب توزیع داده‌ها نرمال گردد.

معیار ارزیابی نتایج

برای تعیین ساختار داده‌ها و تحلیل روند تولید بیوگاز، از نیم تغییر نما استفاده شده است. به همین علت برای برآشش بهترین مدل از مدل‌های کروی، گوسی، نمایی و خطی با استفاده از نرم‌افزار GS+ و از معیارهای آماری

1- Unbiased

3- Cross Validation

2- Root of Sum of Squares

از مطالعات (Vavilin *et al.*, 2001) و (Stroot *et al.*, 2007) همخوانی دارد. پژوهش‌های ذکر شده نشان می‌دهند که مخازن همزن دار با شدت همزنی بالا عملکرد بیشتری دارند در حالی که مخازن با حداقل میزان همزنی در تمام سرعت‌های بارگذاری عملکرد خوبی از خود نشان می‌دهند. نمودار ستونی برای هر یک از آزمایش‌ها در شکل ۳ آورده شده است.

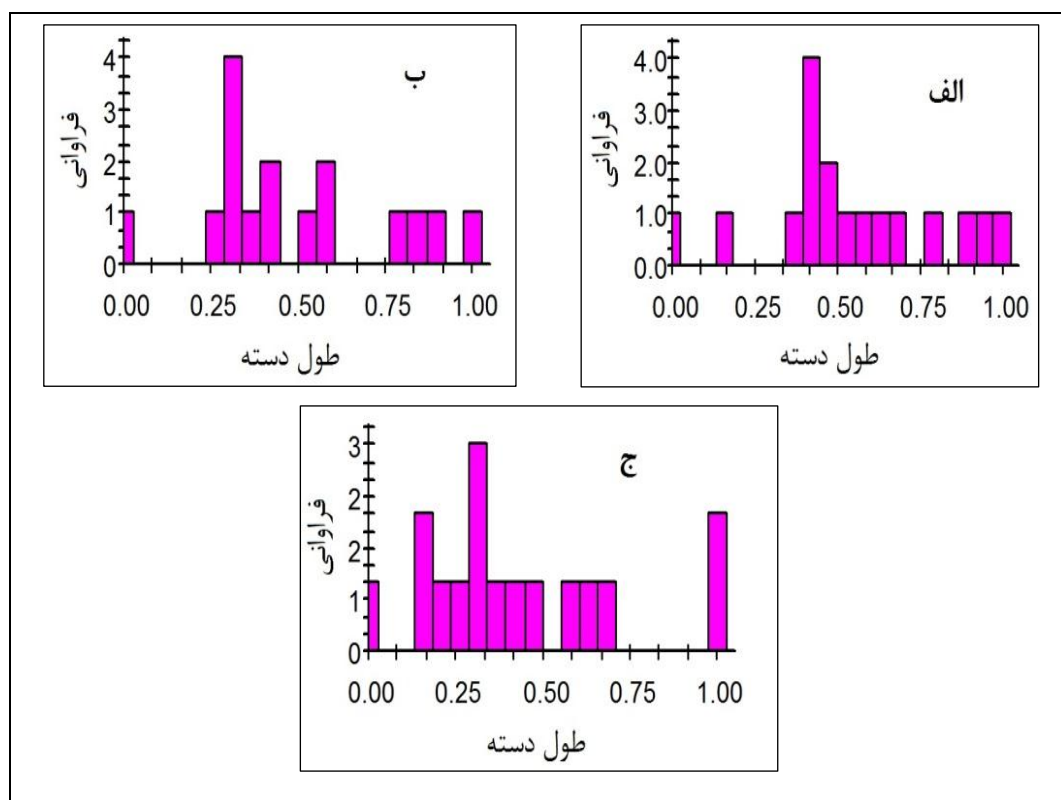
نتایج و بحث

در جدول ۱، خلاصه آماری از مقادیر بیوگاز تولید شده بر حسب لیتر (به ازای ۸۰۰ لیتر کود گاوی رقیق شده با آب) آورده شده است.

همان‌طور که دیده می‌شود، بیشترین حجم تولید بیوگاز مربوط به حالت (II) و کمترین حجم تولید شده مربوط به حالت (III) است. این نتایج با نتایج به دست آمده

جدول ۱ - خلاصه آماری مقادیر بیوگاز تولید شده بر حسب لیتر به ازای ۸۰۰ لیتر کود گاوی رقیق شده با آب به نسبت مساوی از کود و آب

| آزمایش | بیشینه | کمینه | میانگین | انحراف معیار | حجم تولید بیوگاز |
|-------------------------|---------|-------|---------|--------------|------------------|
| بدون همزن | ۱۰۶۰/۰۰ | ۰/۰۰ | ۵۷۵/۱۲ | ۲۷۸/۶۱ | ۹۷۷۷/۰۰ |
| اختلاط ۴۰ دور بر ثانیه | ۱۱۳۵/۰۰ | ۰/۰۰ | ۶۱۰/۰۶ | ۲۸۹/۸۷ | ۱۰۳۷۱/۰۰ |
| اختلاط ۱۰۰ دور بر ثانیه | ۹۱۹/۰۰ | ۰/۰۰ | ۴۶۷/۱۲ | ۲۳۷/۶۱ | ۷۹۴۱/۰۰ |



شکل ۳- نمودارهای ستونی

(الف) بدون همزن، (ب) همزن دار با سرعت ۴۰ دور در دقیقه و (ج) همزن دار با سرعت ۱۰۰ دور در دقیقه

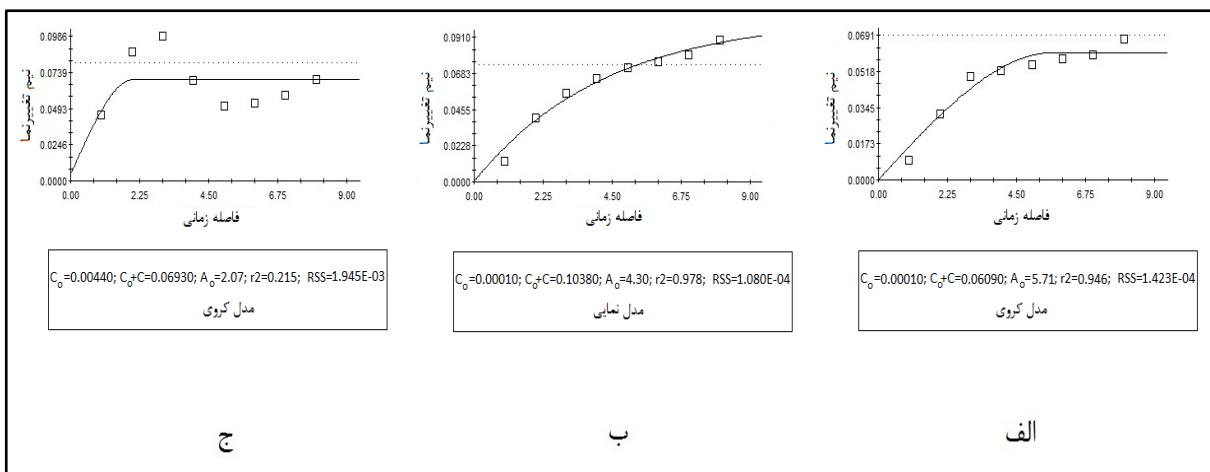
مدل‌های تئوری مختلف بر آن برآذش داده شد. مشخصات مدل‌های برآذش شده در جدول ۲ ارائه شده است.

برای بررسی همبستگی زمانی داده‌های تولید بیوگاز نیم تغییرنمای تجربی بر اساس رابطه ۱ محاسبه و

جدول ۲- مدل‌های برآش شده بر واریوگرام تجربی برای حالت‌های مختلف آزمایش

| RSS | R^2 | $C/(C+C_0)$ | شعاع تأثیر مؤثر (روز) | شعاع تأثیر (روز) | سقف ($C+C_0$) | اثر قطعه‌ای (C_0) | مدل | آزمایش |
|----------|--------|-------------|-----------------------|------------------|-----------------|-----------------------|-------|----------------|
| +/000142 | +/9460 | +/9980 | 5/7100 | 5/7100 | +/060900 | +/000100 | کروی | |
| +/000150 | +/9460 | +/9990 | 10/4100 | 3/4700 | +/072900 | +/000100 | نمایی | |
| +/000466 | +/8080 | +/7620 | 8/0000 | 8/0000 | +/071796 | +/017096 | خطی | بدون همزن (I) |
| +/000929 | +/9620 | +/9680 | 4/2435 | 2/4500 | +/060000 | +/001900 | گوسی | |
| +/000150 | +/9650 | +/9980 | 6/7400 | 6/7400 | +/082700 | +/000200 | کروی | |
| +/000108 | +/9780 | +/9990 | 12/9000 | 4/3000 | +/103800 | +/000100 | نمایی | با همزن با |
| +/0185 | +/8920 | +/8030 | 8/0000 | 8/0000 | +/094872 | +/018699 | خطی | سرعت ۴۰ دور |
| +/000158 | +/9630 | +/8670 | 5/4386 | 3/1400 | +/081800 | +/010900 | گوسی | (II) در دقیقه |
| +/000194 | +/2150 | +/9370 | 2/0700 | 2/0700 | +/069300 | +/004400 | کروی | |
| +/000293 | +/0380 | +/5000 | 62/9700 | 20/9900 | +/111900 | +/055900 | نمایی | با همزن با |
| +/000246 | +/0410 | +/0000 | 8/0000 | 8/0000 | +/066454 | +/066454 | خطی | سرعت ۱۰۰ دور |
| +/000272 | +/0570 | +/5000 | 36/3557 | 20/9900 | +/126100 | +/063000 | گوسی | (III) در دقیقه |

جدول ۲ نشان می‌دهد که بهترین مدلی که بتواند RSS مدل‌ها بر اساس بالاترین مقدار R^2 و کمترین مقدار بر نقاط نیم تغییرنما انتخاب شدند. نیم تغییرنماهای برتر تولید گاز را بر اساس زمان توجیه کند، مدل کروی برای حالت I و III و مدل نمایی برای حالت II است. این در شکل ۴ نشان داده شده‌اند.



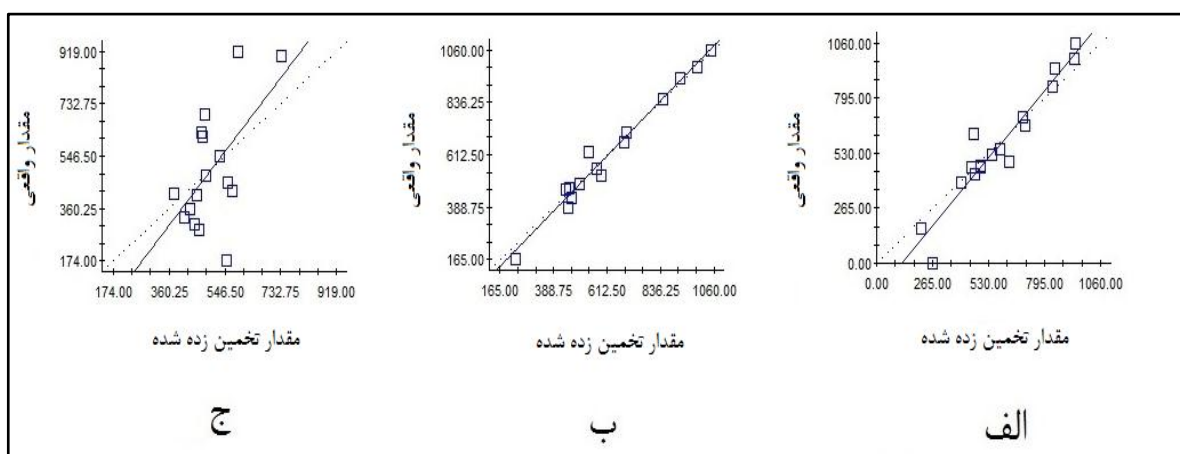
شکل ۴- بهترین واریوگرام‌های برآش شده بر واریوگرام تجربی برای حالت‌های:
الف) بدون همزن، ب) همزن دار با سرعت ۴۰ دور در دقیقه و ج) همزن دار با سرعت ۱۰۰ دور در دقیقه

(III) حدود ۲ روز است.

در بررسی ساختار مکانی یا زمانی داده‌ها با واریوگرام، ممکن است واریوگرامی ایجاد شود که در فضا به صورت تناوبی تکرار شود. این حالت را که اثر سوراخ^۱ می‌گویند در مورد حالت (III) صادق است و می‌تواند نشان‌دهنده توزیع نشدن یکنواخت تولید گاز باشد. به عبارت دیگر، جریان توربولانت سبب بی‌نظمی در تولید گاز شده است یا به مفهومی دیگر، تولید گاز هر روز به صورت مستقل عمل می‌کند. بنابراین، به نظر می‌رسد در حالتی که جریان یکنواخت در مایع مخزن حاکم است تولید گاز روندی قابل پیش‌بینی تر دارد. پس از تحلیل واریوگرام در فاز بعدی تحقیق، برای کنترل مضاعف صحت مدل‌های برآشش شده بر نیم تغییرنماهای تجربی، از به کار گیری این مدل‌ها در کریجینگ برای تخمین و شبیه‌سازی تولید گاز بر حسب زمان استفاده شد.

شکل ۵ نمودار ارزیابی متقابل داده‌های مشاهداتی و محاسباتی را برای هر سه حالت تولید گاز نشان می‌دهد.

نسبت کم اثر قطعه‌ای به سقف نیم تغییرنما نشان‌دهنده همبستگی بالای زمانی داده‌های تولید گاز است. وقتی این نسبت کمتر از ۲۵ درصد باشد، متغیر مورد نظر ساختاری قوی دارد. نسبت بین ۲۵ تا ۷۵ درصد، ساختار متوسط و بزرگتر از ۷۵، ساختار ضعیف دارد. بر اساس این معیار، تمام حالتها استحکام فضایی قوی دارند اما این نسبت برای حالت اول و دوم بهتر از حالت سوم است و حالت سوم پیوستگی زمانی کمتری نسبت به حالتهای دیگر دارد. همچنین، شعاع تأثیر در حالتهای (I)، (II) و (III) به ترتیب حدود ۱۲/۹، ۵/۷ و ۲ روز است. شعاع تأثیر بیشتر حاکی از همبستگی زمانی بیشتر و ساختار قوی‌تر داده هاست. یعنی داده‌ها در یک بازه زمانی بیشتری با هم وابسته‌اند و اختلاط در حالت جریان یکنواخت سبب همگنی مخلوط و تولید گاز شده است. به عبارت دیگر، در حالتی که از همزن با دور ۴۰ دور بر دقیقه استفاده شده و جریان یکنواخت است، مقدار گاز تولیدی هر روز را می‌توان از حدود ۱۳ روز قبل تخمین زد این عدد در مورد حالت (I) حدود ۵/۵ روز و در مورد حالت



شکل ۵- نمودارهای ارزیابی متقابل برای حالتهای:

الف) بدون همزن، ب) همزن دار با سرعت ۴۰ دور در دقیقه و ج) همزن دار با سرعت ۱۰۰ دور در دقیقه

جدول ۳- خصوصیات آماری مقادیر واقعی و تخمینی با کریجینگ

| R ² | RMSE | MAE | Std | Mean | داده‌ها | آزمایش |
|----------------|----------|----------|----------|----------|----------|-------------------------------------|
| ۰/۹۱۰۳ | ۹۴/۶۶۳۱ | ۶۵/۸۹۲۳ | ۲۱۶/۰۷۵۰ | ۵۸۴/۰۷۴۷ | محاسباتی | بدون همزن |
| - | - | - | ۲۷۸/۶۱۲۲ | ۵۷۵/۱۱۷۶ | مشاهداتی | |
| ۰/۹۷۴۵ | ۵۱/۰۴۴۰ | ۳۵/۹۳۸۲ | ۲۲۹/۴۷۸۴ | ۶۱۶/۰۱۶۳ | محاسباتی | با همزن با سرعت ۴۰ دور در دقیقه |
| - | - | - | ۲۴۳/۶۶۱۴ | ۶۱۱/۰۶۲۵ | مشاهداتی | |
| ۰/۳۳۰۳ | ۱۶۵/۰۹۴۲ | ۱۲۶/۷۶۸۲ | ۸۶/۵۲۲۶ | ۵۰۰/۴۱۴۴ | محاسباتی | با همزن با سرعت ۱۰۰ دور در دقیقه |
| - | - | - | ۲۱۱/۵۸۶۶ | ۴۹۶/۳۱۲۵ | مشاهداتی | |

بدون همزن نیز کمتر است و در این حالت، تولید گاز از رابطه‌ای خاص پیروی نمی‌کند. در حالت جریان یکنواخت، حجم تولید گاز بیشتر و روند تولید گاز مشخص‌تر و پیش‌بینی آن به واقعیت نزدیک‌تر است. در حالتی که از همزن با سرعت ۴۰ دور بر دقیقه استفاده می‌شود و جریان یکنواخت است، مقدار گاز تولیدی هر روز را می‌توان از حدود ۱۳ روز زودتر تخمین زد؛ این عدد در حالت بدون همزن حدود ۵/۵ روز و در سرعت همزنی ۱۰۰ دور در دقیقه حدود ۲ روز است. از آنجا که عملکرد کریجینگ به شدت به صحت واریوگرام بستگی دارد، میزان صحت و دقت واریوگرام مجاز استفاده از کریجینگ است. ناچیز بودن خطای تخمین کریجینگ در حالت (I) و (II) و همچنین نزدیک بودن میانگین و انحراف معیار داده‌های محاسباتی با داده‌های واقعی نشان‌دهنده عملکرد خوب کریجینگ در مدلسازی تولید بیوگاز است و استفاده از روش‌های زمین‌آماری برای تعیین توزیع تولید گاز و استفاده از شبیه‌سازی زمین‌آماری به منظور سنجش قطعیت بسیار مفید و کاراست.

بررسی خصوصیات آماری میانگین و انحراف معیار بین داده‌های واقعی و شبیه‌سازی شده نشان‌دهنده ناریب بودن روش به کار رفته است. بر اساس این نتایج، علاوه بر تأیید میزان صحت واریوگرام‌ها، سطح قطعیت ارتباط ساختاری زمانی تولید گاز برای هر یک از حالت‌های آزمایش مشخص و نشان‌دهنده این است که در حالت یکنواخت با داشتن کمترین RMSE و بیشترین ضریب همبستگی بین داده‌های واقعی و محاسباتی، دارای بیشترین پیوستگی ساختاری داده‌ای است.

نتیجه‌گیری

در این مطالعه، از واریوگرام برای شبیه‌سازی روند تولید بیوگاز از فضولات گاوی استفاده شده است. نتایج مطالعه نشان می‌دهد که وجود همزن تأثیر بسزایی در حجم و نیز در روند تولید بیوگاز دارد. بیشترین حجم تولید بیوگاز در سرعت همزنی ۴۰ دور در دقیقه و کمترین حجم در سرعت همزنی ۱۰۰ دور در دقیقه مشاهده می‌شود. حجم تولید گاز در جریان آشفته حتی از حالت

مراجع

- Afazeli, H., Jafari, A., Rafeei, S., Nosrati, M., Almasi, F. and Feghipour, A. 2013. Investigation of temperature and mixing effect on energy indicators of biogas production from animal wastes. *J. Res. Mech. Agric. Machin.* 2(3), 19-26. (in Persian)
- Chapman, D. 1989. Mixing in Anaerobic Digester: State of the Art. In: Cheremisinoff, P. (Ed.) *Encyclopaedia of Environmental Control Technology*. Vol. 3. Gulf Pub. Co. Houston.
- Chen, T., Chynoweth, D. P. and Biljetina, R. 1990. Anaerobic digestion of municipal solid waste in a nonmixed solids concentrating digester. *Appl. Biochem. Biotech.* 24/25, 533-544.
- Hassani-Pak, A. A. 1998. *Geostatistics*. First Ed. University of Tehran Press. (in Persian)
- Kaparaju, P., Buendia, I., Ellegaard, L. and Angelidaki, I. 2008. Effects of mixing on methane production during thermophilic anaerobic digestion of manure: lab-scale and pilot-scale studies. *Bioresource Technol.* 99(11): 4919-28.
- Karim, K., Hoffmann, R., Klasson, K. T. and Al-Dahhan, M. H. 2005. Anaerobic digestion of animal waste: effect of mode of mixing. *Water Res.* 39, 3397-3606.
- Kord, M., Asghari-Moghaddam, A. and Nakhaei, M. 2015. Quantitative modeling of nitrate distribution in Ardabil plain aquifer using fuzzy logic. *J. Environ. Stud.* 41(1): 67-79. (in Persian)
- Lema, J. M., Mendez, R., Iza, J., Garcia, P. and Fernandez-Polanco, F. 1991. Chemical reactor engineering concepts in design and operation of anaerobic treatment processes. *Water Sci. Technol.* 24, 79-86.
- Lindmark, J., Eriksson, P. and Thorin, E. 2014. The effects of different mixing intensities during anaerobic digestion of the organic fraction of municipal solid waste. *Waste Manage.* 34, 1391-1397.
- Omran, G. A., Safa, M. and Golbabaei, F. 2007. Investigation of mechanical paddle mixer efficiency for Chinese biogas plant. *J. Environ. Stud.* 32(2): 19-26. (in Persian)
- Robinson, T. P. and Metternicht, G. 2006. Testing the performance of spatial interpolation techniques for mapping soil properties. *Comput. Electron. Agr.* 50, 97-108.
- Shen, F., Tian, L., Yuan, H., Pang, Y., Chen, S., Zou, D., Zhu, B., Liu, Y. and Li, X. 2013. Improving the mixing performances of rice straw anaerobic digestion for higher biogas production by Computational Fluid Dynamics (CFD) simulation, *Appl. Biochem. Biotech.* 171, 626-642.
- Smith, L. C., Elliot, D. J. and James, A., 1996. Mixing in upflow anaerobic filters and its influence on performance and scale-up. *Water Res.* 30, 3061-3073.
- Stroot, P. G., McMahon, K. D., Mackie, R. I. and Raskin, L. 2001. Anaerobic codigestion of municipal solid waste and biosolids under various mixing conditions-I. Digester performance. *Water Res.* 35, 1804-1816.
- Vavilin, V. A. and Angelidaki, I. 2005. Anaerobic degradation of solid material: importance of initiation centers for methanogenesis, mixing intensity, and 2D distributed model. *Biotechnol. Bioeng.* 89(1): 13-22.
- Vavilin, V. A., Loshina, L. Y., Flotats, X. and Angelidaki, I. 2007. Anaerobic digestion of solid material: multidimensional modeling of continuous flow reactor with non-uniform influent concentration destructions. *Biotechnol. Bioeng.* 97(2): 354-366.
- Vedrenne, F., Beline, F., Dabert, P. and Bernet, N. 2008. The effect of incubation conditions on the laboratory measurement of the methane producing capacity of livestock wastes. *Bioresource Technol.* 99(1): 146-155.

Yadvika, S., Sreekrishnan, T.R., Kohli, S. and Rana, V. 2004. Enhancement of biogas production from solid substrates using different techniques-a review. *Bioresource Technol.* 95, 1-10.

Zaefferer, M., Gaida, D. and Bartz-Beielstein, T. 2016. Multi-fidelity modeling and optimization of biogas plants. *Appl. Soft Comput.* 48, 13-28.

Time Variation Modeling and Trend Analysis of the Biogas Production Using Geostatistic

S. Zareei*, J. Khodaei, F. Almasi and R. Mohammadrezaei

* Corresponding Author: Associated Professor, Department of Biosystem Engineering, University of Kurdistan, Sanandaj, Iran. Email: s.zareei@uok.ac.ir

Received: 11 September 2016, Accepted: 18 February 2017

Biogas production from anaerobic digestion of livestock manure is one of valuable energy resources. The use of stirrer and mixing of substrate can improve biogas production rate in digesters. Present research was carried out in order to model and trend analysis of biogas production and mixing effect in a full scale batch reactor 1200 lit. With liquid volume of 800 lit using geostatistic. Variograms were used for modeling biogas production in three states: (I) without stirring and (II), (III) stirring at 40 and 100 rpm, respectively. Then, the proposed models were evaluated by reproducing observed data using kriging. Cross validation and statistical indices such as determination coefficient and remaining sum of squares were the assessment criterion. Simulation results showed that biogas production trend under uniform flow condition had most data structural continuity with correlation of 0.97 and in state of (III) with correlation of 0.33 had the lowest data structural continuity.

Keywords: Anaerobic Digestion, Kriging, Livestock Manure, Stirring, Reactor